

ИССЛЕДОВАНИЕ ПРОСТРАНСТВЕННОЙ КОГЕРЕНТНОСТИ ОПТИЧЕСКИХ ГАРМОНИК НЕОДИМОВОГО ЛАЗЕРА С СИНХРОНИЗАЦИЕЙ МОД

Н. П. Китаев, Ю. В. Коробкин

УДК 621.373.535

Представлены результаты исследования пространственной когерентности основного, а также второй, третьей и четвертой гармоник излучения неодимового лазера с синхронизацией мод.

В настоящее время одним из основных методов получения когерентного излучения в области коротковолнового оптического диапазона является умножение лазерных частот. Для ряда применений наряду с энергетическими и спектральными параметрами важна и пространственная когерентность излучения оптических гармоник.

В данной работе представлены результаты экспериментального исследования функции пространственной когерентности поля (ФПКП) основного излучения неодимового лазера с синхронизацией мод, а также, второй, третьей и четвертой гармоник, получаемых с помощью нелинейного преобразования в кристаллах КДП.

В большинстве работ, посвященных исследованию ФПКП, например, /1-3/, рассматривались корреляционные функции основного излучения и второй гармоники, причем использовалось либо многомодовое излучение лазера, работающего в квазинепрерывном беспичковом режиме /1/, либо моноимпульсного лазера с модуляцией добротности /2,3/. В связи с интенсивным развитием работ по генерации гармоник пикосекундными импульсами с целью продвижения в область вакуумного ультрафиолета /4,5/, представляет большой интерес исследовать когерентные свойства гармоник лазера с синхронизацией мод.

В эксперименте использовался лазер с синхронизацией мод,

в режиме TEM_{00q} , аналогичный описанному в /5,6/. Параметры излучения на выходе системы: длительность ~ 200 пс, ширина спектра менее $0,15 \text{ см}^{-1}$. Для генерации второй гармоники использовался синхронизм типа со-е, третьей гармоники - синхронизм типа ео-е, четвертой - со-е. Для определения ФПКП использовался классический интерференционный метод Инга. Схема эксперимента представлена на рис. I.

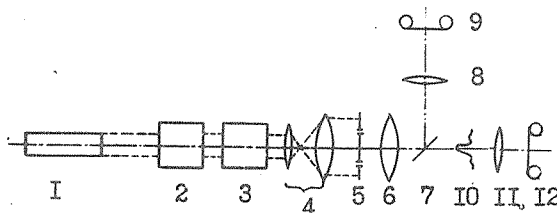


Рис. I. Схема экспериментальной установки: I - неодимовый лазер с синхронизацией мод; 2,3 - кристаллы KDP; 4 - телескопическая система; 5 - экран; 6,8,II - линзы; 7 - плоскопараллельная пластинка; I0 - плоскость изображения; 9,I2 - фотопленка

Диаметр d отверстий экрана был сравним с расстоянием между ними, что было связано с необходимостью измерять ФПКП при малых расстояниях между точками волнового поля и необходимостью достижения достаточной плотности мощности на фотопленке. При нарушении условия $d/1 \ll 1$ необходимо учитывать влияние апертурных явлений /7/. При этом распределение интенсивности определяется формулой:

$$I(x) = I_1 \left[\frac{2J_1 \left(\frac{kd}{2f} x \right)}{\frac{kd}{2f} x} \right]^2 + I_2 \left[\frac{2J_1 \left(\frac{kd}{2f} x \right)}{\frac{kd}{2f} x} \right]^2 + 2 \sqrt{I_1 I_2} x \\ \times \left[\frac{2J_1 \left(\frac{kd}{2f} x \right)}{\frac{kd}{2f} x} \right]^2 \cos(klx/f - \varphi), \quad (I)$$

где I - интенсивность излучения в точке x , I_1, I_2 - интенсивность излучения в отверстиях на экране, k - волновое число,

f - фокусное расстояние линзы, γ - функция пространственной когерентности, φ - фаза величины γ , J_1 - функция Бесселя.

Если нас не интересует фаза φ , $I_1 = I_2$ и измерения проводятся в центральном максимуме, то путем несложных преобразований можно получить выражение, аналогичное /3/,

$$|\gamma| = \frac{mI_{\max} - I_{\min}}{mI_{\max} + I_{\min}}, \quad (2)$$

где поправочный множитель

$$m = \left[\frac{2J_1(kdx_{\min}/2f)}{(kdx_{\min}/2f)} \right]^2 \Big/ \left[\frac{2J_1(kdx_{\max}/2f)}{(kdx_{\max}/2f)} \right]^2$$

и координаты x_{\max} и x_{\min} определяются из условия $x_{\max} = 0$, $x_{\min} = \pi f/kl$. Исходя из этого, окончательное выражение для поправочного множителя имеет вид:

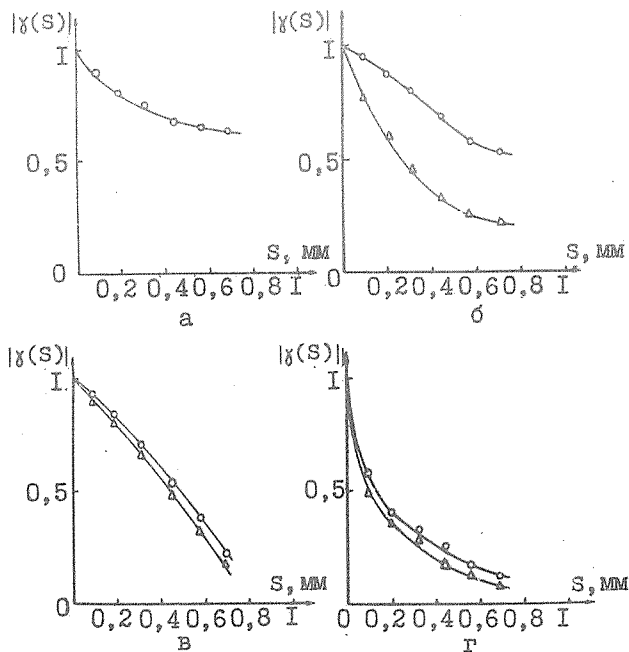
$$m = \left[\frac{2J_1(\pi d/2l)}{\pi d/2l} \right]^2.$$

Для определения $|\gamma|$ по экспериментальным данным формулу (2) удобно переписать в виде:

$$|\gamma| = \frac{m - 10^{\Delta S/\gamma}}{m + 10^{\Delta S/\gamma}},$$

где ΔS - разность почернений, γ - коэффициент контрастности фотоматериала.

Результаты эксперимента представлены рис. 2, на котором приведена зависимость ФПКП для основного излучения, второй, третьей и четвертой гармоник от расстояния между точками волнового фронта, причем, измерения проводились как вдоль направления сноса энергии в нелинейном кристалле (ось X), так и в перпендикулярном направлении (ось Y). Для второй гармоники ФПКП, измеренная вдоль направления сноса энергии (ось X), значительно



Р и с. 2. Зависимость ФПКП от расстояния s между точками волнового фронта: а) основное излучение, б) вторая гармоника, в) третья гармоника, г) четвертая гармоника; \circ - измерения вдоль направления сноса энергии (ось X), Δ - измерения перпендикулярно направлению сноса энергии (ось Y)

отличается от ФПКП в перпендикулярном направлении (ось Y), в то время как для третьей и четвертой гармоник этот эффект проявляется незначительно и соизмерим с ошибкой измерения. Необходимо отметить, что ФПКП второй гармоники была сравнима с ФПКП основного излучения при измерении вдоль оси X. ФПКП третьей и четвертой гармоник во всех случаях была меньше ФПКП основного излучения, причем ФПКП третьей гармоники была выше, чем ФПКП второй гармоники в направлении оси Y.

Как известно из литературы (см., например, /I, 2/), при преобразовании во вторую гармонику степень пространственной когерентности излучения второй гармоники может быть как меньше так и

больше степени пространственной когерентности основного излучения. Степень когерентности третьей гармоники определяется степенью когерентности основного излучения и второй гармоники, что может привести к повышению ФПКИ третьей гармоники по отношению к ФПКИ второй гармоники. Следует отметить, что отсутствие точного расчета изменения степени когерентности гармоник порядка выше второго затрудняет интерпретацию экспериментальных данных. Полученные результаты необходимо учитывать в экспериментах, требующих знание степени пространственной когерентности.

В заключение авторы выражают благодарность А. С. Маркину и П. П. Пашинину за полезные советы и обсуждение полученных результатов.

Поступила в редакцию
24 апреля 1981 г.

Л и т е р а т у р а

1. С. А. Ахманов, Ю. Д. Голяев, В. Г. Тункин, Квантовая электроника, 2, 1171 (1975).
2. А. М. Духовный, А. Е. Королев, Д. И. Стаселько, Оптика и спектроскопия, 47, 780 (1979).
3. А. М. Духовный, А. Е. Королев, Д. И. Стаселько, Оптика и спектроскопия, 48, 560 (1980).
4. J. Reintjes, R. C. Eckardt, Appl. Phys. Lett., 30, 91 (1977).
5. В. И. Берков и др., Краткие сообщения по физике ФИАН № 5, 25 (1979).
6. В. В. Коробкин и др., Письма в ЖТФ, 7, 536 (1981).
7. М. Борн, Э. Вольф, Основы оптики, "Наука" М., 1973 г.